

Применение конформного отображения для моделирования плоских полей, создаваемых гладкими полюсами

А.О.Мыцыков

ИФВЭЯФ ННЦ ХФТИ, г. Харьков

ВВЕДЕНИЕ

Обычным способом достижения требуемых параметров современных установок [1,2] стало применение магнитов со сложным мультипольным составом. Необходимость моделирования таких сложных полей (обусловленная требуемыми допустимыми отклонениями $\sim 10^{-4}$) порождает желание иметь выражение, связывающее поле с геометрическими характеристиками магнита, а именно с формой полюса. Ибо даже насыщение железа может быть скомпенсировано геометрическими преобразованиями профиля полюса [3].

Как известно, поле можно выразить как через комплексный $z(\omega)$ -потенциал, так и через обратную комплексному потенциалу функцию $\omega(z)$ ($\omega(z)$ -отображение полосы $0 < \text{Im}(z) < H$ на полюс [4]):

$$V = -i \overline{dz/d\omega} = -i(d\omega/dz)^{-1}. \quad (1)$$

Получению отображения "полоса-полюс" и посвящено дальнейшее изложение.

КОНФОРМНОЕ ОТОБРАЖЕНИЕ ПОЛОСЫ В ПОЛОСУ

Пусть в каждой точке t берегов полосы известен угол наклона $\nu = \nu(t)$ касательной к L в точке ω , соответствующей t (рис.1).

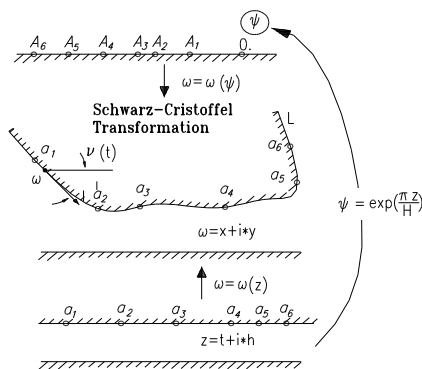


Рис. 1. Отображение полосы $0 < \text{Im}(z) < H$ на полюс с произвольными границами с промежуточным отображением на полуплоскость и без такового.

Пусть также $dz = dt$ и $d\omega = |d\omega| \exp[i\nu(t)]$ —элементы берега полосы и контура L , соответствующие друг другу при рассматриваемом конформном отображении, тогда

$$d\omega/dz = \exp[i\nu(t)] |d\omega|/dt.$$

(2)

Заметим, что

$$-i \ln[d\omega/dz] = \nu(t) - i \ln[|d\omega|/dt] = g(z), \quad (3)$$

где $g(z)$ —функция, реальная часть которой на берегах полосы принимает значения $\nu(t)$. Очевидно, что искомое отображение имеет вид:

$$\omega(z) = C \int_{z_0}^z \exp[ig(z)] dz + C_0, \quad (4)$$

где C, C_0 —константы интегрирования.

Положим, что $\omega(0) = 0$, и, значит, $C_0 = 0$. Для $\omega(z)$ важно соотношение реальной и мнимой частей. Поэтому положим $C = 1$. Функция $g(z)$ в силу вышеуказанного свойства (3) восстанавливается интегралом Шварца для полосы. Для отображения круга на произвольную односвязную область формула вида (4) известна как формула Чизотти [4].

Интеграл Шварца для полосы

Интеграл Шварца для круга $|\zeta| < 1$ имеет вид

$$G(\zeta) = \frac{1}{2\pi} \int_{-\pi}^{\pi} V(\exp(i\tau)) \frac{\exp(i\tau) + \zeta}{\exp(i\tau) - \zeta} d\tau, \quad (5)$$

где τ —угловая координата плоскости ζ , содержащей круг $|\zeta| < 1$. Рассмотрим конформное отображение полосы $0 < \text{Im}(z) < H$ плоскости $z = t + ih$ на круг $|\zeta| < 1$ плоскости $\zeta = r \cdot \exp(i\tau)$,

$$\zeta(z) = \text{th} \left(\pi (2z - iH) / 4H \right), \quad (6)$$

переводящее нижний и верхний берега полосы в нижнюю и верхнюю полуокружности соответственно, и обозначим $G[\zeta(z)] = g(z)$, $V[\exp(i\tau)] = \nu(t)$. Выделив два интервала интегрирования $\tau \in [-\pi, 0] \Rightarrow t \in [-\infty, \infty]$; $\tau \in [0, \pi] \Rightarrow t \in [\infty, -\infty]$ и произведя замену переменных, получим

$$g(z) = \frac{i}{2H} \left\{ - \int_{-\infty}^{\infty} \nu_0(t) \left[\text{cth} \frac{\pi(t-z)}{2H} - \text{th} \frac{\pi t}{H} \right] dt + \int_{-\infty}^{\infty} \nu_H(t) \left[t \text{h} \frac{\pi(t-z)}{2H} - \text{th} \frac{\pi t}{H} \right] dt \right\}. \quad (7)$$

Первый интеграл отвечает за степени симметрии, второй — за форму полюса. Сохранение под интегралом слагаемого $\text{th}(\pi t/H)$ (в [4] оно занесено в константы интегрирования) позволяет, подставив (7) в (4), получить аналитическое выражение для отображения "полоса-полоса". Формулы (4,7) позволяют

описать практически все "геометрии Хальбаха" [5].

КОНФОРМНОЕ ОТОБРАЖЕНИЕ В ОПИСАНИИ МНОГОПОЛЮСНИКОВ С ГЛАДКИМИ ГРАНИЦАМИ

Функцию, описывающую поведение угла наклона профиля полюса $v_H(t)$, определим как

$$v_H(t) = \begin{cases} const = U_{-\infty}, & t \in [-\infty, a_1]; \\ q_j(t), & t \in [a_j, a_{j+1}], \quad j = 1 \dots M-1; \\ const = U_{-\infty}, & t \in [a_1, \infty]; \end{cases} \quad (8)$$

M - число точек на верхнем берегу полосы, между которыми $v_H(t)$ непрерывна. В случае мультиполюсной симметрии $v_0(t)$ определяется как

$$v_0(t) = \begin{cases} const = U_{mult}, & t \in [-\infty, 0] \\ const = 0, & t \in [0, \infty] \end{cases} \quad (9)$$

Для квадрупольной симметрии $U_{mult} = -\pi/2$; для секступольной $U_{mult} = -\pi/3$; и т.д. Подставляя эти выражения в (4,7) и приняв для лаконичности

$$P(t, z) = \text{ch}(\pi(t-z)/2H) \cdot [\text{ch}(\pi t/H)]^{-0.5},$$

получим отображение полосы $\theta < \text{Im}(z) < H$ на полосу области w (см. рис.1):

$$\omega(z) = 2(U_{-\infty} - U_{-\infty}) / 2\pi \int_{z_0}^z \exp\left(z \frac{U_{-\infty} + U_{-\infty}}{2H}\right)$$

$$\prod_{j=1}^M \left[P(a_{j+1}, z) \right]^{\frac{\Delta U_j}{\pi}} \prod_{j=1}^{M-1} \exp\left(\frac{1}{\pi} \int_{a_j}^{a_{j+1}} \frac{dq_j(t)}{dt} \ln[P(t, z)] dt \right) \left[[1 - \exp(-\pi z/H)] / \sqrt{2} \right]^{U_{mult}/\pi} dz. \quad (10)$$

Здесь $\Delta U_j = q_j(a_j) - q_{j-1}(a_j)$ - угол излома в a_j -й вершине. В случае если $v_H(t)$ постоянна на каждом из интервалов $[a_j, a_{j+1}]$, и, следовательно, $dq_j(t)/dt = 0$, полученное отображение с точностью до констант интегрирования совпадает с результатом, который получается с помощью интеграла Кристоффеля-Шварца.

ВЛИЯНИЕ РАЗЛИЧНЫХ УЧАСТКОВ ПРОФИЛЯ ПОЛЮСА НА ПОЛЕ

Формально (10) можно представить как произведение сомножителей, каждый из которых отвечает за вклад в поле от определенного участка профиля полюса. Тогда каждый из сомножителей можно рассматривать как функцию, порождающую свое конформное отображение, переводящее прямолинейную полосу в полосу с выброшенной луночкой (для средних частей профиля) или в полосу с отогнутым краем (для граничных участков профиля). Действительно, интеграл Шварца для таких полюсов совпадает с множителем, отвечающим за тот или иной участок профиля полюса. Значит - поле, в

координатах плоскости, содержащей прямолинейную полосу, равно произведению полей от элементарных конформных отображений, определяемых параметрами участков исходного профиля.

Рис. 2 иллюстрирует вклад участков профиля полюса диполя. Профиль образуется заданием угла наклона образующей полюса между 6-ю точками.

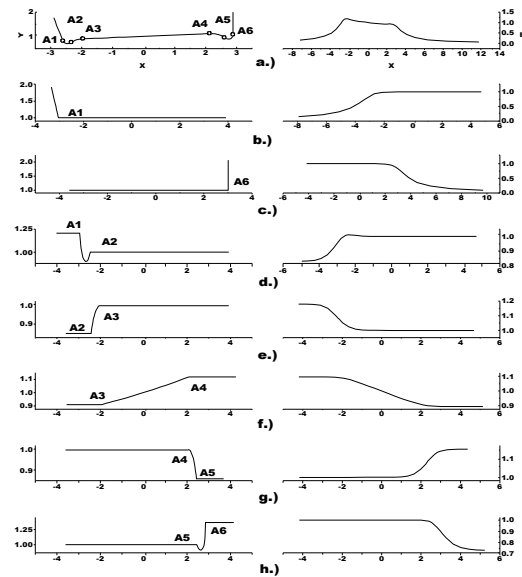


Рис. 2. Влияние участков профиля полюса на поле. Слева участки профиля полюса. Справа поля, соответствующие этим участкам профиля полюса

Возможность учесть влияние отдельных участков профиля полюса открывает дорогу к эффективному решению задачи реконструкции полюса по требуемому полю.

Литература

1. E.V.Bulyak et. al. IEEE Transactions on Magnetics, Vol.30, No.4, July 1994, p.2643-2645.
2. M.Barthes-Corlier, et al J.P. IEEE Transactions on Magnetics, Vol.30, NO.4, July 1994, p.2451-2454.
3. E.Bulyak, I.Karnaukhov and A.Mytsykov, IEEE Transaction on magnetics, Vol.30, NO.4, July 1994 p.2689-2691.
4. М.А.Лаврентьев, Б.В.Шабат. Методы теории функции компл. переменного М.:Наука, 1973
5. The Art and Science of Magnet Design. Selected Notes of Klaus Halbach LBL, 1995, vol.2.

Статья поступила в редакцию 25 мая 1998 г.,
в издательство 1 июня 1998 г.